Acoplamento não-mínimo, potencias exponencias e o regime w<-1 de energia escura

Fábio Cabral* e Alberto Saa§

*fabiocc@fma.if.usp.br, §asaa@ime.unicamp.br

*Instituto de Física, Universidade de São Paulo, CP 66318, 05315-970 São Paulo, SP, Brasil §IMECC, Universidade Estadual de Campinas, CP 6065, 13083-859 Campinas, SP, Brasil

Acoplamento n\u00e40-m\u00eaninimo

$$S = \int d^4x \sqrt{-g} \left\{ F(\phi)R - Z(\phi)\partial_{\mu}\phi\partial^{\mu}\phi - 2V(\phi) \right\}$$

Acoplamento n\u00e3o-m\u00ednimo

$$S = \int d^4x \sqrt{-g} \left\{ F(\phi)R - Z(\phi)\partial_{\mu}\phi\partial^{\mu}\phi - 2V(\phi) \right\}$$

- $F(\phi)=\phi,\ Z(\phi)=\frac{\omega}{\phi},\ \omega=cte o$ Brans-Dicke
- $F(\phi) = 1 \xi \phi^2$, $Z(\phi) = 1 \to NMC$

Acoplamento n\u00e3o-m\u00ednimo

$$S = \int d^4x \sqrt{-g} \left\{ F(\phi)R - Z(\phi)\partial_{\mu}\phi\partial^{\mu}\phi - 2V(\phi) \right\}$$

- $F(\phi)=\phi,\ Z(\phi)=\frac{\omega}{\phi},\ \omega=cte o$ Brans-Dicke
- $F(\phi) = 1 \xi \phi^2$, $Z(\phi) = 1 \to NMC$
- Limite assintótico para a Relatividade Geral

$$F(\phi) \longrightarrow \frac{1}{8\pi G}$$

O Modelo

Ação

$$S = \int d^4x \sqrt{-g} \left\{ F(\phi)R - \partial_{\alpha}\phi \partial^{\alpha}\phi - 2V(\phi) \right\},$$
$$F(\phi) = 1 - \xi \phi^2, \quad V(\phi) = Ae^{-\sigma\phi}, \quad \xi < 0$$

Ação

$$S = \int d^4x \sqrt{-g} \left\{ F(\phi)R - \partial_{\alpha}\phi \partial^{\alpha}\phi - 2V(\phi) \right\},$$
$$F(\phi) = 1 - \xi \phi^2, \quad V(\phi) = Ae^{-\sigma\phi}, \quad \xi < 0$$

Potencial limitado por baixo e com soluções "trackers".

Ação

$$S = \int d^4x \sqrt{-g} \left\{ F(\phi)R - \partial_{\alpha}\phi \partial^{\alpha}\phi - 2V(\phi) \right\},$$
$$F(\phi) = 1 - \xi \phi^2, \quad V(\phi) = Ae^{-\sigma\phi}, \quad \xi < 0$$

- Potencial limitado por baixo e com soluções "trackers".
- Universo homogêneo e isotrópico

$$ds^{2} = -dt^{2} + a^{2}(t) \left(dx^{2} + dy^{2} + dz^{2}\right),$$

$$\phi = \phi(t)$$

• Torres [PRD66,043522(2002)] chamou a atenção para o fato que em modelos ET (Brans-Dicke) $\dot{\rho}_{\phi}+3H(\rho_{\phi}+p_{\phi})\neq0\Rightarrow p_{\phi}/\rho_{\phi}\neq\omega_{\phi}.$

- Torres [PRD66,043522(2002)] chamou a atenção para o fato que em modelos ET (Brans-Dicke) $\dot{\rho}_{\phi}+3H(\rho_{\phi}+p_{\phi})\neq0\Rightarrow p_{\phi}/\rho_{\phi}\neq\omega_{\phi}.$
- Tensor Energia-Momento

$$T_{\mu\nu} = \nabla_{\mu}\phi\nabla_{\nu}\phi - \frac{g_{\mu\nu}}{2}\left(\nabla_{\alpha}\phi\nabla^{\alpha}\phi + 2V - 2\Box F\right) + \nabla_{\mu}\nabla_{\nu}F$$
$$+(1 - F)G_{\mu\nu}$$

- Torres [PRD66,043522(2002)] chamou a atenção para o fato que em modelos ET (Brans-Dicke) $\dot{\rho}_{\phi}+3H(\rho_{\phi}+p_{\phi})\neq0\Rightarrow p_{\phi}/\rho_{\phi}\neq\omega_{\phi}.$
- Tensor Energia-Momento

$$T_{\mu\nu} = \nabla_{\mu}\phi\nabla_{\nu}\phi - \frac{g_{\mu\nu}}{2}\left(\nabla_{\alpha}\phi\nabla^{\alpha}\phi + 2V - 2\Box F\right) + \nabla_{\mu}\nabla_{\nu}F$$
$$+(1 - F)G_{\mu\nu}$$

Equação de Estado

$$ho_{\phi} = 3H^2$$
 $p_{\phi} = -\left(2\dot{H} + 3H^2\right)$
 $\rightarrow p_{\phi}/\rho_{\phi} = \omega_{\phi}$ \therefore

- Torres [PRD66,043522(2002)] chamou a atenção para o fato que em modelos ET (Brans-Dicke) $\dot{\rho}_{\phi}+3H(\rho_{\phi}+p_{\phi})\neq0\Rightarrow p_{\phi}/\rho_{\phi}\neq\omega_{\phi}.$
- Tensor Energia-Momento

$$T_{\mu\nu} = \nabla_{\mu}\phi\nabla_{\nu}\phi - \frac{g_{\mu\nu}}{2}\left(\nabla_{\alpha}\phi\nabla^{\alpha}\phi + 2V - 2\Box F\right) + \nabla_{\mu}\nabla_{\nu}F$$
$$+(1 - F)G_{\mu\nu}$$

Equação de Estado

$$\begin{pmatrix}
\rho_{\phi} = 3H^2 \\
p_{\phi} = -\left(2\dot{H} + 3H^2\right)
\end{pmatrix} \longrightarrow p_{\phi}/\rho_{\phi} = \omega_{\phi} \quad \therefore \quad w_{\phi} = -\left(1 + \frac{2}{3}\frac{\dot{H}}{H^2}\right)$$

Equação de Estado

$$\begin{array}{c}
\rho_{\phi} = 3H^{2} \\
p_{\phi} = -\left(2\dot{H} + 3H^{2}\right)
\end{array}
\right) \longrightarrow p_{\phi}/\rho_{\phi} = \omega_{\phi} \quad \therefore \quad w_{\phi} = -\left(1 + \frac{2}{3}\frac{\dot{H}}{H^{2}}\right)$$

A equação de continuidade permanece válida.

Equação de Estado

$$\begin{array}{c}
\rho_{\phi} = 3H^{2} \\
p_{\phi} = -\left(2\dot{H} + 3H^{2}\right)
\end{array}
\right) \longrightarrow p_{\phi}/\rho_{\phi} = \omega_{\phi} \quad \therefore \quad w_{\phi} = -\left(1 + \frac{2}{3}\frac{\dot{H}}{H^{2}}\right)$$

- A equação de continuidade permanece válida.
- Não existe a restrição $\omega_{\phi} \geq -1$.

Análise de Estabilidade do Modelo

Equações de Movimento

$$3H\left(FH + F'\dot{\phi}\right) = \frac{\dot{\phi}^2}{2} + V(\phi), \quad H = \dot{a}/a$$

$$-2F_1\dot{H} = 3\left(F + 2(F')^2\right)H^2 + \frac{1 + 2F''}{2}\dot{\phi}^2 - V - \left(H\dot{\phi} + V'\right)F'$$

$$\ddot{\phi} + \frac{G(\phi, \dot{\phi}, H)}{F_1}\dot{\phi} + V'_{\text{eff}}(\phi) = 0$$

Equações de Movimento

$$3H \left(FH + F'\dot{\phi} \right) = \frac{\dot{\phi}^2}{2} + V(\phi), \quad H = \dot{a}/a$$

$$-2F_1\dot{H} = 3 \left(F + 2(F')^2 \right) H^2 + \frac{1 + 2F''}{2} \dot{\phi}^2 - V - \left(H\dot{\phi} + V' \right) F'$$

$$\ddot{\phi} + \frac{G(\phi, \dot{\phi}, H)}{F_1} \dot{\phi} + V'_{\text{eff}}(\phi) = 0$$

onde

$$G(\phi, \dot{\phi}, H) = 3F_1H + \frac{1}{2}(1 + 3F'')F'\dot{\phi},$$

Equações de Movimento

$$3H \left(FH + F'\dot{\phi} \right) = \frac{\dot{\phi}^2}{2} + V(\phi), \quad H = \dot{a}/a$$

$$-2F_1\dot{H} = 3\left(F + 2(F')^2 \right)H^2 + \frac{1 + 2F''}{2}\dot{\phi}^2 - V - \left(H\dot{\phi} + V' \right)F'$$

$$\ddot{\phi} + \frac{G(\phi, \dot{\phi}, H)}{F_1}\dot{\phi} + V'_{\text{eff}}(\phi) = 0$$

onde

$$G(\phi, \dot{\phi}, H) = 3F_1H + \frac{1}{2}(1 + 3F'')F'\dot{\phi},$$

$$V'_{\text{eff}}(\phi) = \frac{1}{F_1} (FV' - 2F'V), \quad F_1(\phi) = F(\phi) + \frac{3}{2} (F'(\phi))^2$$

$$3H \left(FH + F'\dot{\phi} \right) = \frac{\dot{\phi}^2}{2} + V(\phi), \quad H = \dot{a}/a$$

$$-2F_1\dot{H} = 3\left(F + 2(F')^2 \right)H^2 + \frac{1 + 2F''}{2}\dot{\phi}^2 - V - \left(H\dot{\phi} + V' \right)F',$$

$$\ddot{\phi} + \frac{G(\phi, \dot{\phi}, H)}{F_1}\dot{\phi} + V'_{\text{eff}}(\phi) = 0$$

• Os pontos críticos são obtidos pela condição $\dot{H}=\dot{\phi}=0$

$$3H\left(FH + F'\dot{\phi}\right) = \frac{\dot{\phi}^2}{2} + V(\phi), \quad H = \dot{a}/a$$

$$-2F_1\dot{H} = 3\left(F + 2(F')^2\right)H^2 + \frac{1 + 2F''}{2}\dot{\phi}^2 - V - \left(H\dot{\phi} + V'\right)F',$$

$$\ddot{\phi} + \frac{G(\phi, \dot{\phi}, H)}{F_1}\dot{\phi} + V'_{\text{eff}}(\phi) = 0$$

• Os pontos críticos são obtidos pela condição $\dot{H}=\dot{\phi}=0$

$$\bar{\phi}_{\pm} = -\frac{2}{\sigma} \left(1 \mp \sqrt{1 + \sigma^2/4\xi} \right)$$
$$\bar{H}_{\pm}^2 = \frac{V(\bar{\phi}_{\pm})}{3F(\bar{\phi}_{\pm})}$$

$$\bar{\phi}_{\pm} = -\frac{2}{\sigma} \left(1 \mp \sqrt{1 + \sigma^2/4\xi} \right)$$

$$\bar{H}_{\pm}^2 = \frac{V(\bar{\phi}_{\pm})}{3F(\bar{\phi}_{\pm})}$$

$$\bar{\phi}_{\pm} = -\frac{2}{\sigma} \left(1 \mp \sqrt{1 + \sigma^2/4\xi} \right)$$

$$\bar{H}_{\pm}^2 = \frac{V(\bar{\phi}_{\pm})}{3F(\bar{\phi}_{\pm})}$$

Comentários

• $\xi \le -\sigma^2/4$:: $Ae^{-\sigma\phi}$.

$$\bar{\phi}_{\pm} = -\frac{2}{\sigma} \left(1 \mp \sqrt{1 + \sigma^2/4\xi} \right)$$

$$\bar{H}_{\pm}^2 = \frac{V(\bar{\phi}_{\pm})}{3F(\bar{\phi}_{\pm})}$$

- $\xi \leq -\sigma^2/4$:: $Ae^{-\sigma\phi}$.
- Os pontos fixos $\phi(t)=\bar{\phi}$ e $H(t)=\bar{H}$ correspondem às soluções de Sitter $a(t)\propto \exp{(\bar{H}t)}$ para a qual $\omega_{\phi}=-1$.

$$\bar{\phi}_{\pm} = -\frac{2}{\sigma} \left(1 \mp \sqrt{1 + \sigma^2/4\xi} \right)$$

$$\bar{H}_{\pm}^2 = \frac{V(\bar{\phi}_{\pm})}{3F(\bar{\phi}_{\pm})}$$

- $\xi \leq -\sigma^2/4$:: $Ae^{-\sigma\phi}$.
- Os pontos fixos $\phi(t)=\bar{\phi}$ e $H(t)=\bar{H}$ correspondem às soluções de Sitter $a(t)\propto \exp{(\bar{H}t)}$ para a qual $\omega_{\phi}=-1$.
- ullet $ar{\phi}_+$ ightharpoonup máximo e $ar{\phi}_-$ ightharpoonup mínimo para $V_{
 m eff}$.

$$\bar{\phi}_{\pm} = -\frac{2}{\sigma} \left(1 \mp \sqrt{1 + \sigma^2/4\xi} \right)$$

$$\bar{H}_{\pm}^2 = \frac{V(\bar{\phi}_{\pm})}{3F(\bar{\phi}_{\pm})}$$

- $\xi \leq -\sigma^2/4$:: $Ae^{-\sigma\phi}$.
- Os pontos fixos $\phi(t)=\bar{\phi}$ e $H(t)=\bar{H}$ correspondem às soluções de Sitter $a(t)\propto \exp{(\bar{H}t)}$ para a qual $\omega_{\phi}=-1$.
- ullet $ar{\phi}_+$ ightharpoonup máximo e $ar{\phi}_-$ ightharpoonup mínimo para $V_{
 m eff}$.
- $\phi(t) \rightharpoonup \bar{\phi}_{-}$, $\dot{H} \rightharpoonup 0 \Rightarrow H(t) \rightharpoonup \bar{H}_{-}$.

$$\bar{\phi}_{\pm} = -\frac{2}{\sigma} \left(1 \mp \sqrt{1 + \sigma^2/4\xi} \right)$$

$$\bar{H}_{\pm}^2 = \frac{V(\bar{\phi}_{\pm})}{3F(\bar{\phi}_{\pm})}$$

- $\xi \le -\sigma^2/4$:: $Ae^{-\sigma\phi}$.
- Os pontos fixos $\phi(t)=\bar{\phi}$ e $H(t)=\bar{H}$ correspondem às soluções de Sitter $a(t)\propto \exp{(\bar{H}t)}$ para a qual $\omega_{\phi}=-1$.
- ullet $ar{\phi}_+$ ightharpoonup máximo e $ar{\phi}_-$ ightharpoonup mínimo para $V_{
 m eff}$.
- $\phi(t) \rightharpoonup \bar{\phi}_{-}, \quad \dot{H} \rightharpoonup 0 \Rightarrow H(t) \rightharpoonup \bar{H}_{-}.$
- Método de Lyapunov $\rightarrow (\bar{\phi}_-, \bar{H}_-) \rightarrow$ atrator.

Método de Lyapunov

Função de Lyapunov

$$L(\phi, \dot{\phi}) = \frac{\dot{\phi}^2}{2} + V_{\text{eff}}(\phi), \quad \dot{L} = -G\dot{\phi}^2 < 0, \quad G(\phi, \dot{\phi}, H) \ge 0$$

Método de Lyapunov

Função de Lyapunov

$$L(\phi, \dot{\phi}) = \frac{\dot{\phi}^2}{2} + V_{\text{eff}}(\phi), \quad \dot{L} = -G\dot{\phi}^2 < 0, \quad G(\phi, \dot{\phi}, H) \ge 0$$

$$G(\phi, \dot{\phi}, H) = 3\left(F(\phi)H + \frac{1 - 6\xi}{6}F'(\phi)\dot{\phi}\right) + \frac{9}{2}\left(F'(\phi)\right)^2H, \quad \xi > -5/6$$

Método de Lyapunov

Função de Lyapunov

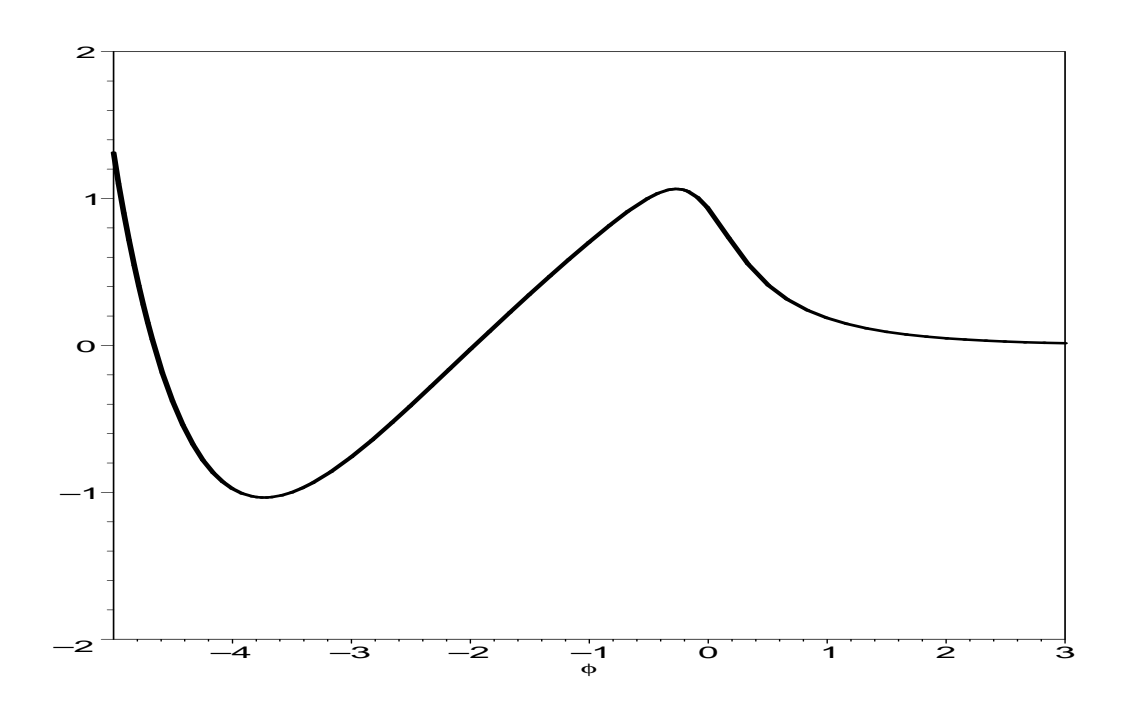
$$L(\phi, \dot{\phi}) = \frac{\dot{\phi}^2}{2} + V_{\text{eff}}(\phi), \quad \dot{L} = -G\dot{\phi}^2 < 0, \quad G(\phi, \dot{\phi}, H) \ge 0$$

$$G(\phi, \dot{\phi}, H) = 3\left(F(\phi)H + \frac{1 - 6\xi}{6}F'(\phi)\dot{\phi}\right) + \frac{9}{2}\left(F'(\phi)\right)^2H, \quad \xi > -5/6$$

• Simulações numéricas sugerem $\xi < -100$ indicando que eventuais amplificações futuras das regiões $G(\phi,\dot{\phi},H) < 0$ não são seriam suficientes para vencer o potencial $V_{\rm eff}$ em torno de $\bar{\phi}$.

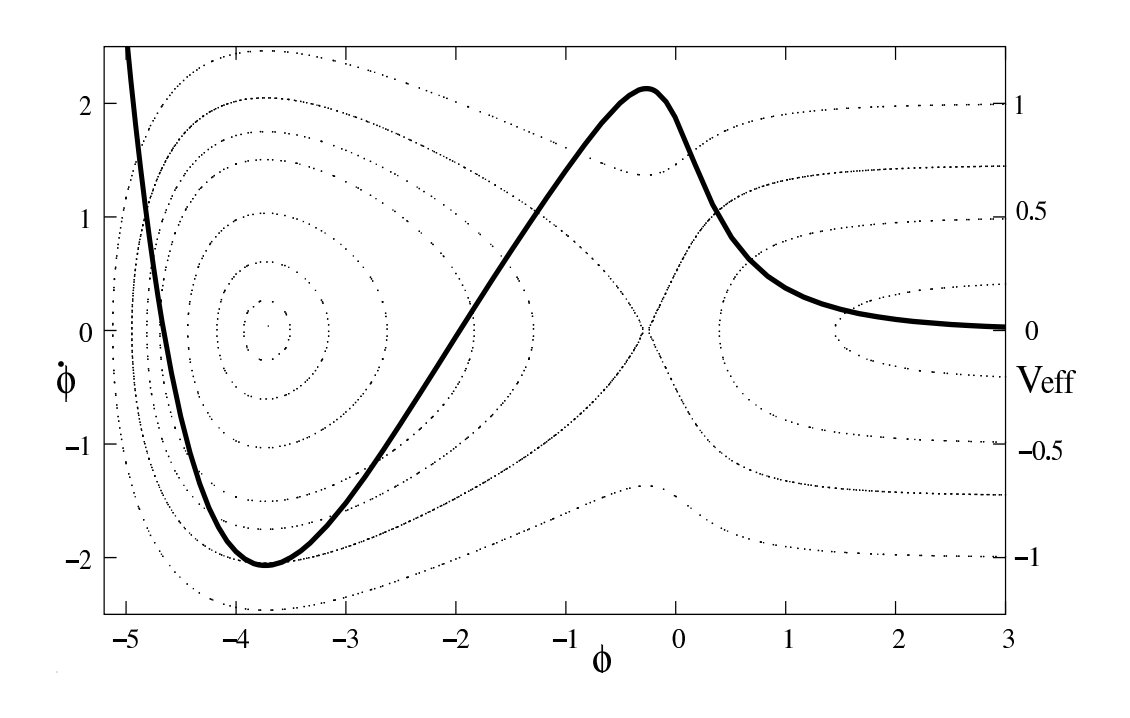
O Potencial

$$V'_{\text{eff}}(\phi) = A\sigma\xi e^{-\sigma\phi} \frac{\left(\phi - \bar{\phi}_{+}\right)\left(\phi - \bar{\phi}_{-}\right)}{1 - \xi(1 - 6\xi)\phi^{2}}$$



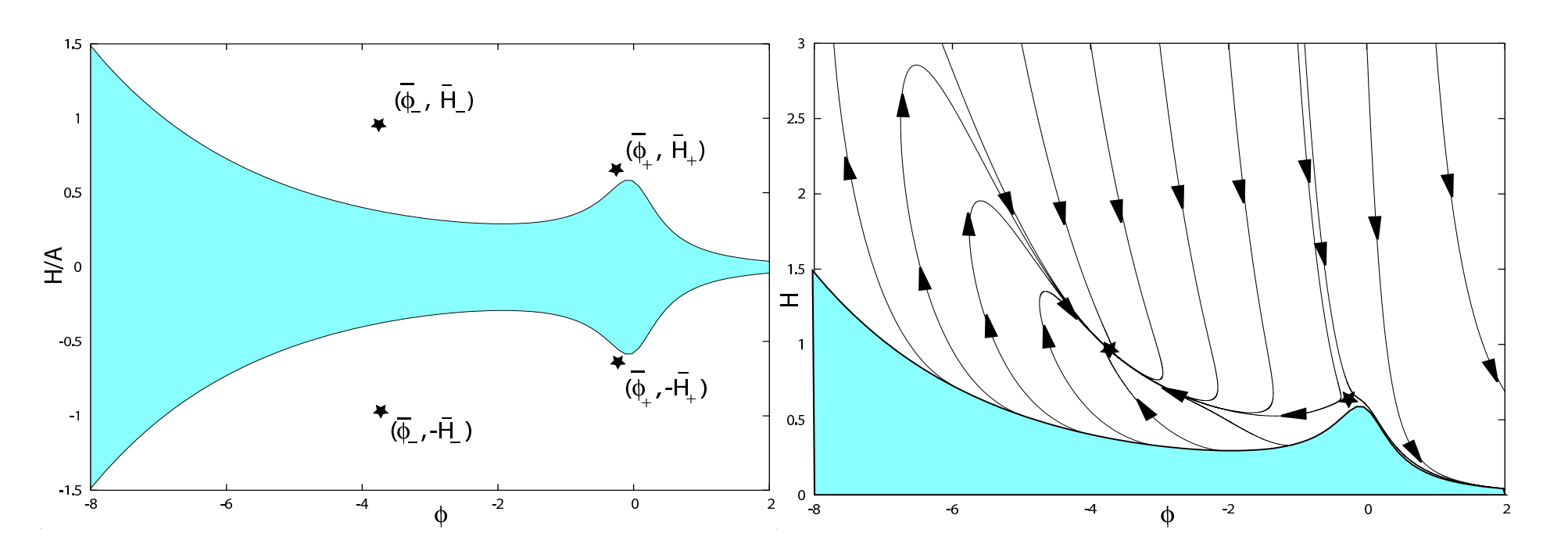
O Potencial

$$V'_{\text{eff}}(\phi) = A\sigma\xi e^{-\sigma\phi} \frac{\left(\phi - \bar{\phi}_{+}\right)\left(\phi - \bar{\phi}_{-}\right)}{1 - \xi(1 - 6\xi)\phi^{2}}$$



$$L(\phi, \dot{\phi}) = \frac{\dot{\phi}^2}{2} + V_{\text{eff}}(\phi), \quad \dot{L} = -G\dot{\phi}^2$$

Espaço de Fase



• Modelos de quintessência NMC com potenciais exponenciais podem exibir fases assintóticas de Sitter para grandes intervalos de condições iniciais no regime $\omega_{\phi} < -1$.

- Modelos de quintessência NMC com potenciais exponenciais podem exibir fases assintóticas de Sitter para grandes intervalos de condições iniciais no regime $\omega_{\phi} < -1$.
- O modelo apresentado aqui está livre das instabilidades que são usualmente associadas aos modelos *phantom*.

- Modelos de quintessência NMC com potenciais exponenciais podem exibir fases assintóticas de Sitter para grandes intervalos de condições iniciais no regime $\omega_{\phi} < -1$.
- O modelo apresentado aqui está livre das instabilidades que são usualmente associadas aos modelos *phantom*.
 - Classicamente, visto que $F(\phi) \neq 0$, o modelo não apresenta as singularidades anisotrópicas conhecidas na literatura.

- Modelos de quintessência NMC com potenciais exponenciais podem exibir fases assintóticas de Sitter para grandes intervalos de condições iniciais no regime $\omega_{\phi} < -1$.
- O modelo apresentado aqui está livre das instabilidades que são usualmente associadas aos modelos phantom.
 - Classicamente, visto que $F(\phi) \neq 0$, o modelo não apresenta as singularidades anisotrópicas conhecidas na literatura.
 - Visto que $F(\phi)$ é sempre positiva e $V(\phi)$ é limitada por baixo, o modelo está também livre de instabilidades quânticas.

- Modelos de quintessência NMC com potenciais exponenciais podem exibir fases assintóticas de Sitter para grandes intervalos de condições iniciais no regime $\omega_{\phi} < -1$.
- O modelo apresentado aqui está livre das instabilidades que são usualmente associadas aos modelos phantom.
 - Classicamente, visto que $F(\phi) \neq 0$, o modelo não apresenta as singularidades anisotrópicas conhecidas na literatura.
 - Visto que $F(\phi)$ é sempre positiva e $V(\phi)$ é limitada por baixo, o modelo está também livre de instabilidades quânticas.
- É possível em princípio, construir modelos realísticos para energia escura com w<-1.[PRD70,087302]